

## 1 第五章：动态电路的时域分析

线性电路是电阻、电容和电感等电学特性不随时间变化的电路，由于电压和电流是时间的函数，也就是说，线性电路的各参数不随电压或电流变化而变化。相反，非线性电路中的参数会发生变化，例如二极管作为一个非线性电阻，其阻值是电流的函数，从而是非线性电路。

### 1.1 一阶动态电路

三要素法：

$$\begin{cases} f(0^+) \\ f_\infty(t) \\ \tau = RC, \frac{L}{R} \end{cases} \implies$$
$$f(t) = [f(0^+) - f_\infty(0)] \cdot e^{-\frac{t}{\tau}} + f_\infty(t), \quad \forall t \geq 0^+$$

线性电路满足：全响应 = 零输入响应 + 零状态响应

特别地，当  $f_\infty$  为常量时， $f_\infty(0) \equiv f_\infty(t)$ ，有：

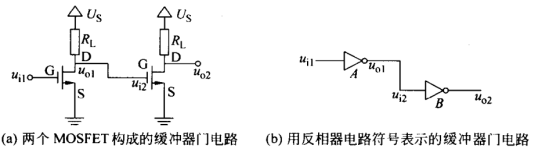
$$f = f(t) = f_{0+} \cdot e^{-\frac{t}{\tau}} + f_\infty(0) \cdot \left[1 - e^{-\frac{t}{\tau}}\right]$$

MOSFET 缓冲器的传播延迟：

$$t_{\text{pd},0} \rightarrow 1 = R_{\text{ON}} C_{\text{GS}} \cdot \ln\left(\frac{V_{\text{DD}}}{V_{\text{TH}}}\right)$$
$$t_{\text{pd},1} \rightarrow 0 = R_{\text{D}} C_{\text{GS}} \cdot \ln\left(\frac{V_{\text{DD}}}{V_{\text{DD}} - V_{\text{TH}}}\right)$$

$t_{\text{pd},\text{out}0} \rightarrow 1$  过程：  $T_1$  导通，  $C_{\text{GS},2}$  放电，从  $V_S$  放电到  $\frac{R_{\text{ON}}}{R_{\text{ON}} + R_{\text{D}}} \cdot V_S \approx 0$ ，三要素法得：

$u_{o1}(0^+) = V_S, u_{o1,\infty} = 0, \tau = (R_{\text{D}} \parallel R_{\text{ON}}) C_{\text{GS},2} \approx R_{\text{ON}} C_{\text{GS},2}$ 
$$\implies u_{o1}(t) = V_S \cdot e^{-\frac{t}{\tau}} = V_{\text{TH}} \implies t_{\text{pd},\text{out}0} \rightarrow 1$$



### 1.2 二阶动态电路

图 1:  $RCL$  电路，左串右并

$$y'' + 2\beta y' + \omega_0 y = 0$$

经典法：  $y_s$  是稳态解、  $\omega = \sqrt{\omega_0^2 - \beta^2}$

欠阻尼：  $\beta < \omega_0, y(t) = y_s + e^{-\beta t} A \sin(\omega t + \phi)$ 
$$\begin{cases} y_s = 0 \implies t = \frac{\omega}{\beta + \frac{\omega}{y'(0)}} \text{ (可负)}, & A = y(0) \cdot \frac{\sqrt{1+t^2}}{t}, & \phi = \arctan t \\ y_0 = y_s = 0 \implies A = \frac{y'(0)}{\omega}, & \phi = 0 \end{cases}$$

临界阻尼：  $\beta = \omega_0, y(t) = y_s + e^{-\beta t} (A + Bt)$ 
$$\begin{cases} A = y(0) - y_s \\ B = \beta y(0) + y'(0) - \beta y_s \end{cases}$$

过阻尼：  $\beta > \omega_0, y(t) = y_s + e^{-\beta t} (A e^{\omega t} + B e^{-\omega t})$ 
$$\begin{cases} A = \frac{1}{2\omega} [y'(0) + (\beta + \omega)(y_0 - y_s)] \\ B = -\frac{1}{2\omega} [y'(0) + (\beta - \omega)(y_0 - y_s)] \end{cases}$$

具体电路中，  $f$  可以是  $u_C$  或  $i_L$ ：

串联  $RLC$ :  $LCf'' + RCf' + f = h(t)$

并联  $RLC$ :  $f'' + \frac{f'}{RC} + \frac{f}{LC} = h(t)$

1.3 冲激响应和阶跃响应

$$\delta_0 = \frac{d\eta_0}{dt}, \quad \text{冲激响应 } h(t) = \frac{ds(t)}{dt}, \quad s(t) \text{ 为阶跃响应}$$

注意冲激  $\delta_0$  前的系数是多少，响应的  $\eta_0$  也要乘上这个系数。单位冲激  $U_s = \delta_0$  下的响应为：

类型	$RC$ 串	$RC$ 并	$RL$ 串	$RL$ 并
突变	$\Delta u_C = 1/RC$	$\delta u_C = 1/C$	$\Delta i_L = 1/L$	$\Delta i_L = R/L$

任意激励的瞬态响应，先求出单位冲激响应  $h(t)$ ，则激励  $e$  下的**零状态**响应  $H$  为：

$$H(t) = e(t) * h(t) = \int_{-\infty}^{+\infty} e(\tau) h(t - \tau) d\tau$$

## 2 第六章：正弦激励下电路的稳态分析

### 2.1 功率

功率：

瞬时 (W):  $p(t) = u(t) \cdot i(t)$

有功 (W):  $P = UI \cos \varphi = I^2 \operatorname{Re}\{Z\}$

无功 (var):  $Q = UI \sin \varphi = I^2 \operatorname{Im}\{Z\}$

视在 (V·A):  $S = UI = I^2 |Z| = \sqrt{P^2 + Q^2}$

复功率 (V·A):  $\dot{S} = P + jQ = \dot{U} \dot{I}^*$

功率因数:  $\cos \varphi = \frac{\operatorname{Re}\{Z\}}{|Z|} = \frac{P}{\sqrt{P^2 + Q^2}}$

保持有功功率  $P$  不变，将阻抗角从  $\varphi_1$  改变到  $\varphi_2$  (仅影响无功功率  $Q$ )，需要并联的电抗  $jX$  为：

$$X = \frac{3U^2}{P(\tan \varphi_2 - \tan \varphi_1)}$$

特别地：

感性:  $\varphi > 0, \quad C = \frac{P(\tan \varphi_1 - \tan \varphi_2)}{3\omega U^2}$       容性:  $\varphi < 0, \quad L = \frac{3U^2}{\omega P(\tan \varphi_2 - \tan \varphi_1)}$

### 2.2 最大功率传输

考虑实际电源 ( $\dot{U}_s, Z_s = R_s + jX_s$ ) 接在负载  $Z = R + jX$  两端，则有功功率为：

$$P = \frac{R}{(R + R_s)^2 + (X + X_s)^2} \cdot U_s^2$$

为使负载获得最大有功功率  $P$ ，有以下几种情况：

情况	满足条件	最大功率 $P_{\text{max}}$
改变 $X$	$X = -X_s$	$\frac{R}{(R + R_s)^2} U_s^2$
改变 $R$	$R = \sqrt{R_s^2 + (X + X_s)^2}$	$\frac{1}{2(R_s + R)} U_s^2$
改变 $X$ 和 $R$	$Z = Z_s^*$	$\frac{1}{4R_s} U_s^2$
$\arg Z = \varphi_s$ 不变， $ Z $ 可变	$ Z  =  Z_s $	$\frac{2 Z_s }{[1 - \cos(\varphi_s \varphi)]}$

### 2.3 频率响应

常见一阶滤波器的网络函数  $H$ 、相频特性  $\varphi(\omega)$  与截止频率  $\omega_c$  为：

$RC$  低通,  $H = \frac{1}{1 + j\omega CR}, \varphi = -\arctan\left(\frac{\omega}{\omega_c}\right), \omega_c = \frac{1}{\tau} = \frac{1}{RC}$

$RC$  高通,  $H = \frac{j\omega CR}{1 + j\omega CR}, \varphi = 90^\circ - \arctan\left(\frac{\omega}{\omega_c}\right), \omega_c = \frac{1}{\tau} = \frac{1}{RC}$

$RL$  低通,  $H = \frac{1}{1 + j\omega \frac{L}{R}}, \varphi = -\arctan\left(\frac{\omega}{\omega_c}\right), \omega_c = \frac{1}{\tau} = \frac{R}{L}$

$RL$  高通,  $H = \frac{j\omega \frac{L}{R}}{1 + j\omega \frac{L}{R}}, \varphi = 90^\circ - \arctan\left(\frac{\omega}{\omega_c}\right), \omega_c = \frac{1}{\tau} = \frac{R}{L}$

$RC$  带通滤波器（经缓冲器隔离）的谐振频率  $\omega_0$  与最大增益  $H_{\text{max}}$ ：

$$\omega_0 = \frac{1}{\sqrt{\tau_1 \tau_2}}, \quad H_{\text{max}} = \frac{\tau_2}{\tau_1 + \tau_2}$$

### 2.4 波特图

求出  $H$  的表达式，分子为零则零点，分母为零则极点。在画波特图之前，需要先确定  $\lim_{\omega \rightarrow 0, \infty} \arg H$  和

$\lim_{\omega \rightarrow 0, \infty} |H|$ 。然后：

$|H|$ : 初始斜率为 0，遇到零点斜率增加 20 dB/dec，遇到极点斜率增加 -20 dB/dec；

$\arg H$ : 不受零点影响，经过极点时会有  $0 \rightarrow -45^\circ \rightarrow -90^\circ$  的相位下降。

### 2.5 谐振电路：

$|Z|$  极小为串联谐振， $|Z|$  极大为并联谐振。 $RLC$  串联电路发生谐振时，具有如下特点：

- $\dot{U}_S$  和  $\dot{I}$  同相，入端阻抗  $Z$  表现为纯电阻，且模长最小；
- 在  $\dot{U}_S$  作为激励下，电流  $\dot{I}$  达到最大值，响应  $\dot{U}_R$  达到最大值；
- 电容和电感电压的幅值都是  $U_S$  的  $Q$  倍，且相位相反，即  $\dot{U}_L = -\dot{U}_C = jQ\dot{U}_S, Q = \frac{\omega_0 L}{R} = \frac{1}{\omega_0 CR} = \frac{1}{R} \sqrt{\frac{L}{C}}$  为品质因数；
- 电源无功功率为 0，只发出有功功率，且完全被电阻消耗；电感与电容之间进行能量交换，与电源没有能量交换。

$RLC$  并联电路发生谐振时，具有如下特点：

- $\dot{U}$  和  $\dot{I}_S$  同相，入端导纳  $Y$  表现为纯电导，且模长最小；
- 在  $\dot{I}_S$  作为激励下，电压  $\dot{U}$  达到最大值，响应  $\dot{U}_R$  达到最大值；
- 电容和电感电流的幅值都是  $I_S$  的  $Q$  倍，且相位相反，即  $\dot{I}_L = -\dot{I}_C = jQ\dot{I}_S, Q = \omega_0 CR = \frac{R}{\omega_0 L} = R\sqrt{\frac{C}{L}}$  品质因数；
- 电源无功功率为 0，只发出有功功率，且完全被电阻消耗；电感与电容之间进行能量交换，与电源没有能量交换。

### 2.6 品质因数

$$RLC \text{ 串联: } Q = \frac{\omega_0 L}{R} = \frac{\rho}{R} = \frac{1}{\omega_0 CR} = \frac{1}{R} \sqrt{\frac{L}{C}}$$

$$RLC \text{ 并联: } Q = \frac{R}{\omega_0 L} = \omega_0 CR = R\sqrt{\frac{C}{L}}$$

其中  $\rho = \omega_0 L$  是特性阻抗。 $RLC$  串并联电路归一化频响：

$$I_{\text{norm}} = \frac{I(\eta \omega_0)}{I(\omega_0)} = \frac{1}{\sqrt{1 + Q^2 \left(\eta - \frac{1}{\eta}\right)^2}}, \quad \eta = \frac{\omega}{\omega_0}$$

$$\text{WB} = \frac{\omega_0}{Q}, \quad Q \text{ 是谐振电路的品质因数}$$

电感和电容的品质因数：

$$Q_L = \frac{\omega L}{R_{\text{dcr}}}, \quad Q_C = \frac{1}{\omega CR_{\text{csr}}}$$

$Q$  的三种物理意义角度：

电压电流 amplitude 角度：串联  $U_L = U_C = QU_S$ ，并联  $I_L = I_C = QI_S$

能量角度：  $Q$  大时，存储能量多，损耗能量小

频率响应角度：归一化频响曲线

### 2.7 互感

无论同名端、电流电压参考方向如何，我们有以下结论：

- 电流流入同名端，则为正，流出则为负；
- 电压正端在同名端，则无需取反，反之需取反；

上面的结论对多个线圈的互感也适用。

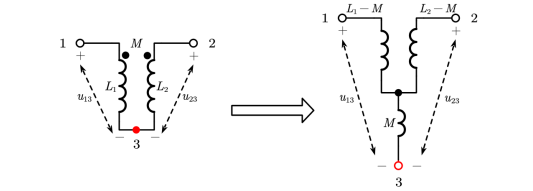


图 2: 电感去耦等效

利用去耦等效计算某电感两端电压，**勿忘电感电压参考端会发生移动。**

同侧串联:  $L_{\text{eq}} = L_1 + L_2 + 2M$

异侧串联:  $L_{\text{eq}} = L_1 + L_2 - 2M$

同侧并联:  $L_{\text{eq}} = M + (L_1 - M) \parallel (L_2 - M)$

异侧并联:  $L_{\text{eq}} = -M + (L_1 + M) \parallel (L_2 + M)$

### 2.8 变压器

非理想变压器等效：

图 3: 非理想变压器的等效

副边总阻抗:  $Z_2 = j\omega L_2 + Z_L$

原边总阻抗:  $Z_1 = j\omega L_1 + Z_0$

$$\text{原边引入阻抗: } \frac{(\omega M)^2}{Z_2}$$

$$\text{副边引入阻抗: } \frac{(\omega M)^2}{Z_1}, \quad \text{副边引入电源: } \dot{U}_{\text{eq}} = \frac{j\omega M}{Z_1} \dot{U}_1$$

当耦合系数  $k = \frac{M}{\sqrt{L_1 L_2}} = 1$  时，称为全耦合，此时将变压器看作二端口网络，则有：

$$\begin{cases} \dot{U}_1 = n\dot{U}_2 \\ \dot{I}_1 = \frac{\dot{U}_1}{j\omega L_1} + \frac{1}{n}(-\dot{I}_2) \end{cases}, \quad \begin{bmatrix} \dot{U}_1 \\ \dot{I}_1 \end{bmatrix} = \begin{bmatrix} \frac{n}{j\omega L_1} & 0 \\ \frac{1}{n} & \frac{1}{n} \end{bmatrix} \begin{bmatrix} \dot{U}_2 \\ -\dot{I}_2 \end{bmatrix}$$
$$\implies T = \begin{bmatrix} \frac{n}{j\omega L_1} & 0 \\ \frac{1}{n} & \frac{1}{n} \end{bmatrix}$$

上面的变压器称为全耦合变压器，其中  $n \propto \sqrt{\frac{L_1}{L_2}}$ 。特别地，当  $L_1$  足够大时， $\frac{\dot{U}_1}{j\omega L_1}$  一项可以忽略，此时有：

$$\dot{U}_1 = n\dot{U}_2, \quad \dot{I}_1 = -\frac{1}{n}\dot{I}_2$$

即为喜闻乐见的理想变压器。理想变压器具有负载“放大”功能，设原线圈比幅线圈为  $n$ ，则在原线圈中有：

$$Z_{\text{eq}} = n^2 Z$$

### 2.9 三相电路

$$\Delta \text{ 型负载: } \begin{cases} \dot{I}_A = \sqrt{3} \dot{I}_{AB} \angle -30^\circ \\ \dot{I}_B = \sqrt{3} \dot{I}_{BC} \angle -30^\circ \\ \dot{I}_C = \sqrt{3} \dot{I}_{CA} \angle -30^\circ \end{cases}$$

$$Y \text{ 型负载: } \begin{cases} \dot{U}_{AB} = \sqrt{3} \dot{U}_{AN} \angle 30^\circ \\ \dot{U}_{BC} = \sqrt{3} \dot{U}_{BN} \angle 30^\circ \\ \dot{U}_{CA} = \sqrt{3} \dot{U}_{CN} \angle 30^\circ \end{cases}$$

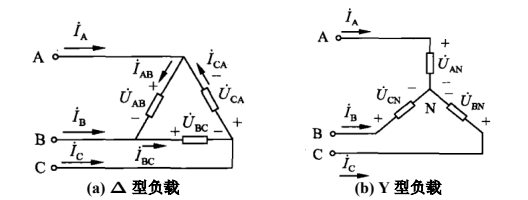


图 4: 对称负载三相电路

$\Delta$  型电源和  $\Delta$  型负载变换为 Y 型:

$$\begin{cases} \dot{U}_{AN} = \frac{1}{\sqrt{3}} \dot{U}_{AB} \angle -30^\circ \\ \dot{U}_{BN} = \frac{1}{\sqrt{3}} \dot{U}_{BC} \angle -30^\circ \\ \dot{U}_{CN} = \frac{1}{\sqrt{3}} \dot{U}_{CA} \angle -30^\circ \end{cases}, \quad Z_Y = \frac{Z_\Delta}{3} \quad (41)$$

对称负载  $\dot{U}_{N'N} \equiv 0$ ,  $\dot{I}_{N'N} \equiv 0$ ,  $Z_N$  对电路没有影响 (虚短 + 虚断)。

### 2.9.1 非对称三相电路

负载不对称时, 需要区分有没有中线。如果存在中线 ( $Z_N = 0$ ), 负载电压仍等于相电压, 直接抽单相计算即可; 如果不存在中线 ( $Z_N = \infty$ ),:

$$\dot{U}_{N'N} = \frac{\frac{\dot{U}_{AN}}{Z_A} + \frac{\dot{U}_{BN}}{Z_B} + \frac{\dot{U}_{CN}}{Z_C}}{\frac{1}{Z_A} + \frac{1}{Z_B} + \frac{1}{Z_C}} \quad (42)$$

$$\dot{I}_A = \frac{\dot{U}_{AN} - \dot{U}_{N'N}}{Z_A}, \quad \dot{I}_B = \frac{\dot{U}_{BN} - \dot{U}_{N'N}}{Z_B} \quad (43)$$

### 2.10 三相电路的功率

将相电压、相电流的下标用 p 表示 (phase), 将线电压、线电流的下标用 l 表示 (line), 则对称三相电路的各功率为:

$$P = 3U_p I_p \cos \varphi, \quad Q = 3U_p I_p \sin \varphi, \quad S = 3U_p I_p \angle \varphi = 3\dot{U}_p \dot{I}_p^* \quad (44)$$

可以推出, 对称三相电路的瞬时功率  $p \equiv 3U_p I_p \cos \varphi = P$ 。两表法测三相电路功率的示意图如下:

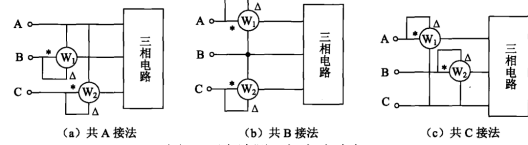


图 5: 两表法测三相电路功率

以共 C 接法为例, 两表的功率示数为:

$$P_1 = U_{AC} I_A \cos(\varphi_{u_{AC}} - \varphi_{i_A}) \quad (45)$$

$$P_2 = U_{BC} I_B \cos(\varphi_{u_{BC}} - \varphi_{i_B}) \quad (46)$$

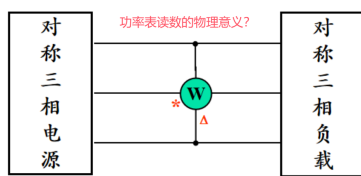
设 Y 型电源下的  $\dot{U}_A$ ,  $\dot{I}_A$  已知, 则  $\dot{U}_{AB} = \sqrt{3}U_A \angle 30^\circ$ , 设功率因数为  $\varphi$ , 则两表读数为:

$$P_1 = \sqrt{3}U_A I_A \cos(\varphi - 30^\circ), \quad P_2 = \sqrt{3}U_A I_A \cos(\varphi + 30^\circ) \quad (47)$$

用单个功率表测对称电路的无功功率:

设  $\dot{U}_{AN} = U \angle 0^\circ$

$$\begin{aligned} P &= U_{CA} I_B \cos(\varphi_{u_{CA}} - \varphi_{i_B}) \\ &= \sqrt{3}UI \cos((150^\circ) - (-120^\circ - \varphi)) \\ &= \sqrt{3}UI \cos(270^\circ + \varphi) \\ &= \sqrt{3}UI \sin \varphi \end{aligned}$$



### 2.11 提高功率因数

为提高功率因数, 同时考虑到安全性, 通常对感性电路 ( $\varphi > 0$ , 电压带动电流) 并联 Y 型电容组, 对容性电路 ( $\varphi < 0$ , 电流带动电压) 并联 Y 型电感组。并联电容时计算公式如下:

$$\varphi > 0, \text{ 感性: } C = \frac{P(\tan \varphi_1 - \tan \varphi_2)}{3\omega U^2} \quad (48)$$

如果上式计算出  $C < 0$ , 则需要并联电感, 计算公式为:

$$\varphi < 0, \text{ 容性: } L = \frac{P(\tan \varphi_2 - \tan \varphi_1)}{3\omega U^2} \quad (49)$$

等价地讲, 为了将一个  $\varphi_1$  变换到  $\varphi_2$ , 需要并联的电抗  $X$  为:

$$X = \frac{3U^2}{P(\tan \varphi_2 - \tan \varphi_1)}, \quad Z = jX = j \frac{3U^2}{P(\tan \varphi_2 - \tan \varphi_1)} \quad (50)$$

也可以考虑并联  $\Delta$  型电容, 但 Y 型时电容承受相电压,  $\Delta$  型承受线电压 (通常更大), 后者耐压要求更高。

### 2.12 周期性非正弦激励的电路稳态分析

通常是计算非正弦激励下的电压、电流或功率, 只需分解为多个频率量, 分别计算后利用叠加定理相加即可。注意不同频率下元件的阻抗不同, 灵活运用串联、并联谐振以简化分析。功率之所以可以直接相加, 是因为其为“不同频率”激励下的功率, 而不是早先讨论的纯直流激励下的功率, 前者互不影响, 后者不能直接相加。需要注意, 若已知非正弦激励下的电压有效值和电流有效值, **不能简单的用  $P = UI \cos \varphi$  来求有功功率  $P$** , 因为不同频率分量的  $\varphi$  不同。需要分别计算后将它们相加。注意变压器在 DC 不起作用。

## 3 其它

### 3.1 Y 型与 $\Delta$ 型电阻

$$\begin{aligned} \text{由 Y 求 } \Delta: R_{12} &= R_1 + R_2 + \frac{R_1 R_2}{R_3}, \quad R_{13} = R_1 + R_3 + \frac{R_1 R_3}{R_2} \\ \text{由 } \Delta \text{ 求 Y: } R_1 &= \frac{R_{12} R_{13}}{R_0}, \quad R_2 = \frac{R_{12} R_{23}}{R_0}, \quad R_0 = R_{12} + R_{13} + R_{23} \end{aligned} \quad (51)$$

### 3.2 二端口

传输矩阵  $T$ :

$$\begin{bmatrix} u_1 \\ i_1 \end{bmatrix} = T \cdot \begin{bmatrix} u_2 \\ -i_2 \end{bmatrix}, \quad \text{互易: } AD - BC = 1, \quad \text{对称: } A = D \quad (52)$$

二端口吸收的功率:

$$P = u_1 i_1 + u_2 i_2 \quad (53)$$

若一个二端口网络 N 是对称的, 则当  $u_1, i_1, u_2, i_2$  已知时, 其传输矩阵的计算公式如下:

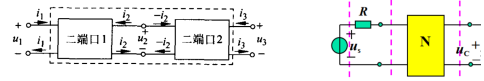
$$T = \begin{bmatrix} A & B \\ C & D \end{bmatrix} = \begin{bmatrix} \frac{i_1}{i_2} & \frac{u_1}{i_2} \\ \frac{AD-1}{B} & \frac{i_1}{i_2} \end{bmatrix} \quad (54)$$

二端口级联:

$$T = T_1 \cdot T_2 \quad (55)$$

与电阻级联:

$$T = \begin{bmatrix} 1 & R \\ 0 & 1 \end{bmatrix} \cdot \begin{bmatrix} A & B \\ C & D \end{bmatrix} = \begin{bmatrix} A + CR & B + DR \\ C & D \end{bmatrix} \quad (56)$$



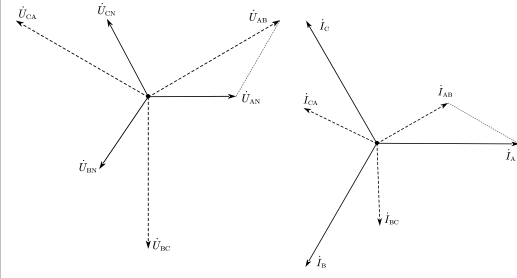
注意如果  $R$  在右边, 乘法顺序相反。

## 3.3 杂七杂八

- (1) 三相电路: 三线即为  $\Delta$  型, 需除以  $\sqrt{3}$ ;
- (2)  $380 \text{ V} \xrightarrow{\frac{1}{\sqrt{3}}} 220 \text{ V}$ ;
- (3) 感性  $\varphi = 40^\circ$ ,  $\dot{U} = 220 \angle 0^\circ$ , 则  $\dot{I} = 10 \angle -40^\circ$ ;
- (4) 家用电频率、工频  $50 \text{ Hz}$ ;
- (5) 注意变压器在 DC 不起作用;
- (6) 相电压相电流:

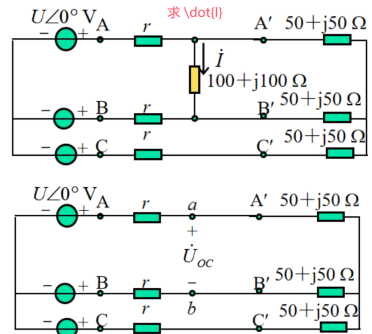
$$\text{线电压: } \dot{U}_{AB}, \quad \text{线电流: } \dot{I}_A \quad (57)$$

$$\text{相电压: } \dot{U}_A, \quad \text{相电流: } \dot{I}_{AB} \quad (58)$$

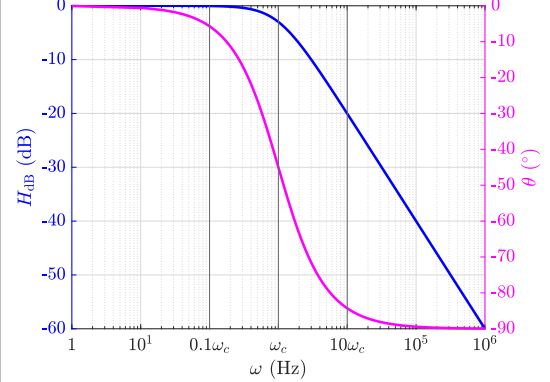


- (7) 三相电路的戴维南等效, 先求开路电压  $U_{oc}$ , 然后置零, 求端口电阻:

$$Z_{eq} = 2(Z_1 \parallel Z_2) = 2(r \parallel Z) \quad (59)$$



- (8) RC 低通滤波器的波特图:

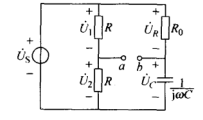


- (9) 全通滤波器 (移相桥): 全通滤波器是一种比较特殊的滤波器, 具有平坦的

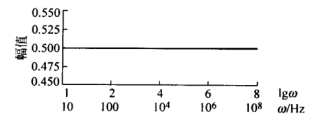
幅频特性, 主要用来产生相移, 例如下面的移相桥:

$$H(\omega) = \frac{1}{2} \cdot \frac{j\omega R_0 C - 1}{j\omega R_0 C + 1}, \quad \theta = 180^\circ - 2 \arctan\left(\frac{\omega}{\omega_c}\right) \quad (60)$$

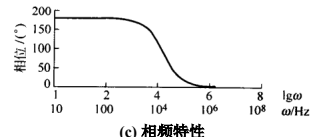
$$\omega_c = R_0 C \quad (61)$$



(a) 移相桥电路图



(b) 幅频特性



(c) 相频特性

图 8: 全通滤波器移相桥

- (10) dB 单位转换:

表 1: 增益与 dB 值的对应关系

$H$	0.01	0.1	0.5	$\frac{1}{\sqrt{2}}$	1	$\sqrt{2}$	2	10	100
$H_{dB}$	-40	-20	-6	-3	0	3	6	20	40

- (11) 识别变压器同名端:

